

二輥交替式 疊 軋 薄 板 軋 机

谷 行 恕 編 著



机 械 工 业 出 版 社

333·7

-1

二 輓 交 替 式
疊 軋 薄 板 軋 机

谷 行 恤 編 著



机 械 工 业 出 版 社

1960

出版者的話

疊軋薄板的生產方式雖然比較落後，但是對高速度發展我國國民經濟和貫徹兩條腿走路的方針還有相當重要的意義。它特別適用於各省、市、自治區年產五萬噸以下各種規格薄板的中小型企業。目前我國各地正有大批疊軋薄板軋機要投入生產。

本書敘述了二輥交替式疊軋薄板軋機的計算方法和安裝調整的基本知識，目的是使有關生產部門能正確掌握軋機的性能，為充分發揮軋機的潛力提供必要的理論基礎。

本書共分八節，介紹軋機主要零件的計算和軋輶的調整，對計算中的各種複雜系數已作了選擇，並舉出計算例題，特別對軋輶和機架作了比較詳細的敘述，還列舉了各種框架的計算公式。可供生產部門的技工和技術人員和設計部門的技術人員參考。

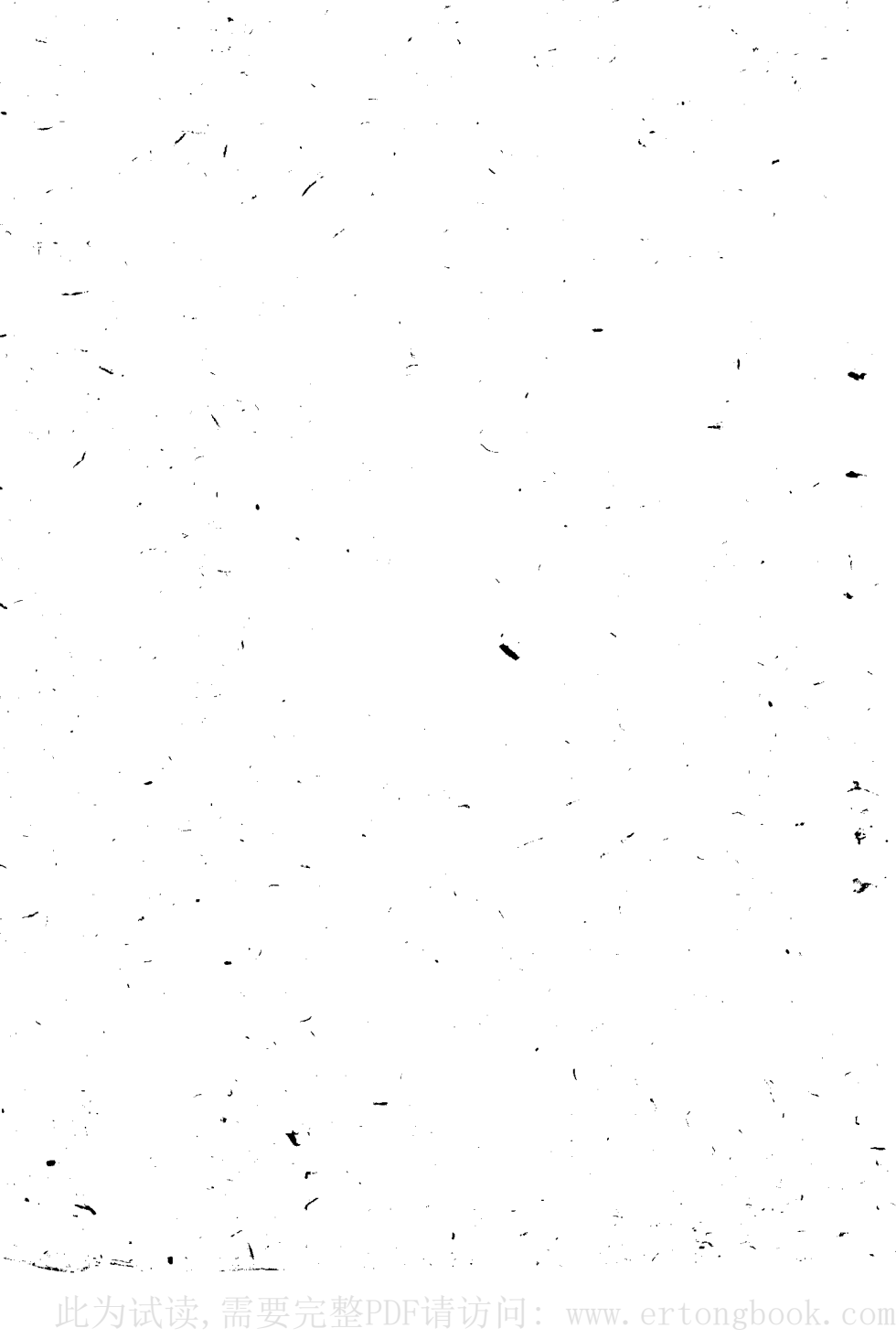
NO. 3253

1960年4月第一版 1960年4月第一版第一次印刷
787×1092 1/32 字數 48千字 印張 2 1/4 0,001— 3,390 冊
机械工业出版社(北京阜成門外百万庄)出版
机械工业出版社印刷厂印刷 新华书店发行

北京市书刊出版业营业許可証出字第008号 定价(10-7)0.33元

目 次

一、 叠轧薄板的特征和轧制过程.....	5
二、 轧辊.....	10
三、 轴承.....	21
四、 压下装置.....	26
五、 机架.....	36
六、 轧辊的安装.....	58
七、 辊型调整.....	63
八、 钢板缺陷.....	68
参考文献	71



此为试读,需要完整PDF请访问: www.ertongbook.com

一、叠轧薄板的特征和轧制过程

热轧或冷轧連續薄板生产是机械化自动化生产薄板的最新形式，連續式热轧，連續式或可逆式冷轧机轧出的薄板，具有光洁的表面，精确的尺寸和較好的机械性能。但是連續薄板厂的产量高，基本建設投資大，建設時間长和工艺复杂。用連續式热轧机轧出的鋼板，由于轧机各部件間的間隙和彈性变形，厚度不能小于1.5毫米，小于1.5毫米的鋼板要通过冷轧来实现。因此我国目前所需要的大量的白鐵皮、屋面板、电机和变压器鋼板，还需要采用叠轧方法来生产。在二輥式軋机上，用交替叠轧方法来生产薄板已有悠久历史。虽然它是一种原始的薄板生产方法，由于它具有构造簡單、投資少和建設快的优点，特別适合于中小型企业的建設方針。叠轧具有手工劳动的工艺特性，要在叠轧薄板軋机上实行全盘的操作机械化是有困难的。

叠轧薄板軋机的机架牌坊和其他零件的剛度，能保証軋件的最小厚度为2~2.5毫米，軋件厚度小于2毫米时須把数块鋼板重叠起来一齐轧制。叠轧鋼板的块数取决于鋼板的最終厚度和重量，一般是四块到八块，重量在三十到五十公斤內，鋼板的最終厚度为0.35~1.2毫米。

叠轧薄板軋机均为下輥单独傳动，上輥由下輥或軋件摩擦带动，这样既可簡化傳动結構又可以保証鋼板质量不因上下輥線速度差而受到影响。因此軋件的可能咬入角也被限制在6°~9°之間。

叠轧薄板的軋制速度一般限制在每秒1.2~1.8米，軋制

速度过高时軋件被軋輥咬入条件恶化，同时軋件在大的軋制速度下咬入会产生較大的冲击，对軋机主要机列的机件将有不良影响。

数块钢板叠轧时上下钢板与中部钢板冷却不一样，这将使軋件产生不同的延伸。为了使钢板延伸均匀，避免钢板間的粘结，应将軋輥預热到 $400^{\circ}\sim450^{\circ}\text{C}$ 再进行軋制。所軋钢板的精确度决定于軋輥的輥型和每疊中钢板的块数。

单輥傳动的軋制过程，可設想为軋制时軋件作用于上輥上的力为一合力 P_b 之形式，作用在A点（图1）。暫且忽略轴承內的摩擦阻力，如果上輥在軋制过程中是均匀的轉动，合力 P_b 必須通过上輥轉动中心。因为只有一切作用在輥上的力对輥子軸心的力矩和等于零时，輥子才可能均匀轉动。又作用力和反作用力的大小相等方向相反，则作用在下輥上的力矩

$$M = P_b a,$$

而

$$a = (D + h_1) \sin\beta,$$

以 $M_{Tp} = P_b \mu \frac{d}{2}$ 表示上輥軸頸的摩擦力矩，如果上軋輥在軋制过程中要均匀轉动必須

$$P_b \mu \frac{d}{2} = P_b p;$$

式中 d —— 輥頸直徑；

μ —— 輥頸摩擦系数；

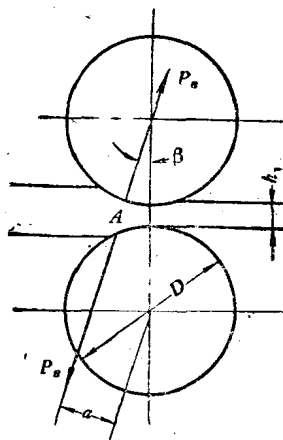


图 1

ρ —— 摩擦圆半径。
則驅動下輶所需的力矩

$$M = P_s a_1 + P_s \mu \frac{d}{2}$$

$$= P_s a_1 + P_s \rho.$$

作 O_1B 平行 P_s 力；作 O_2B 垂直 O_1B (图 2) 則：

$$a_1 = (D + h_1) \sin \gamma - \rho$$

$$= (D + h_1)$$

$$\sin(\varphi + \beta) - \rho.$$

以 a_1 代入力矩公式

$$M = P_s (D + h_1)$$

$$\sin(\varphi + \beta); \quad (1)$$

式中 β —— 上輶上合力作用点 A 和上輶中心 O_1 連綫与上下輶中心線之夾角

$$\beta = -\frac{1}{2} \cos^{-1} \frac{D - \Delta h}{D}$$

$$(2)$$

$$\Delta h = h_0 - h_1;$$

φ —— 上輶中心 O_1 与 A 点連綫与 P_s 力之夹角

$$\varphi = \sin^{-1} \frac{2\rho}{D} = \frac{d\mu}{D}. \quad (3)$$

由于 P_s 力和軶輶中心連綫成 $(\varphi + \beta)$ 角，所以在軶制过程中伴随着軶制力产生水平分力，上輶之水平分力是順着軶制方向，下輶之水平力是反着軶制方向，两个水平力的大小相等方向相反。水平力 X_s 为：

$$X_s = P_s \sin(\varphi + \beta). \quad (4)$$

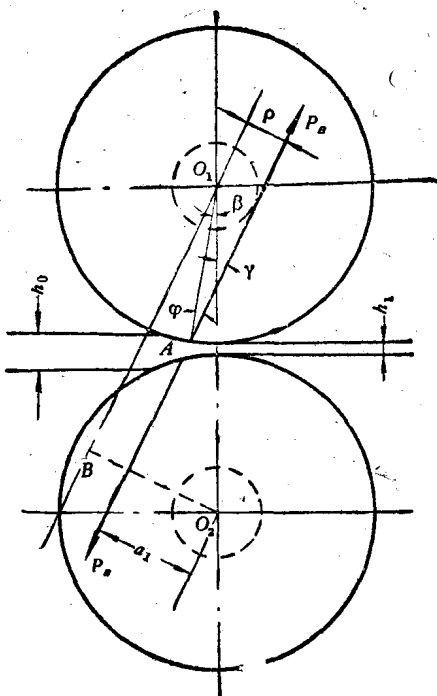


图 2

由图3可见 $X_s C_2 > X_s C_1$, 水平力的作用使机架向轧制方向倾倒, 倾倒力矩:

$$M_{on} = X_s C_2 - X_s C_1 = X_s (D + h_1)。$$

以 X_s 代入上式得

$$M_{on} = P_s (D + h_1) \sin(\varphi + \beta) = M_o$$

固定机架脚所需的力为:

$$Q_1 = \frac{M_{on}}{l} - \frac{G}{2}, \quad (5)$$

$$Q_2 = \frac{M_{on}}{l} + \frac{G}{2}; \quad (6)$$

式中 G —— 轧机总重量。

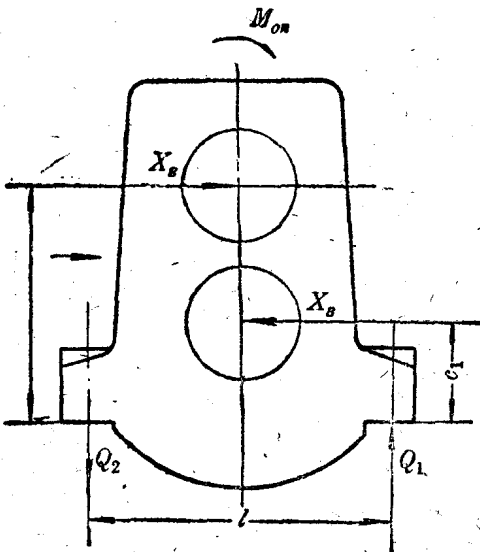


图 3

每个螺栓所受的拉力, 考虑力的分布情况应按名义拉力的1.2~1.4倍计算。

轧制力 P_b 的大小直接影响轧机的大小。轧制压力的计算方法很多，这些方法都是在某些情况下比较接近实际。影响轧制压力的因素很多，主要是：轧制板坯的材料，宽度，轧制时板坯的温度，轧制速度，压下量，外摩擦和轧辊直径等。

叠轧薄板通常习惯用恰古诺夫(B. A. Тягунов)的經驗公式来计算轧制压力[3]。用这种方法计算的结果比实际测量的略大，可是在实际工作中往往由于上轧辊的冲击使压力增加很多。

作用在轧辊上的压力

$$P_b = P_{cp} F; \quad (7)$$

式中 R_{cp} ——平均单位压力，

F ——轧辊与轧件的接触面积。

$$F = b_c l_c;$$

式中 b_c ——轧件平均宽度。

平均单位压力

$$P_{cp} = K_p K_s \sigma_b; \quad (8)$$

式中 K_s ——外抗力系数按A. Ф. 戈洛文公式，

$$K_s = \frac{1}{3} \left(\frac{l_c}{h_c} + 2 \right); \quad (9)$$

式中 l_c ——轧件变形区的长度，热轧时辊子的弹性压扁影响

变形区的长度很小可以忽略 $l_c = \sqrt{R \Delta h}$ ，

h_c ——轧件的平均厚度

$$h_c = h_0 - \frac{\Delta h}{2},$$

h_0 ——轧制前轧件厚度(叠板应算总厚度)，

K_s ——与轧件熔点和加热温度有关的温度系数。

当轧制温度 $t > t_{ne} - 575^{\circ}\text{C}$ 时

$$K_s = \frac{0.95t - 8}{1500}; \quad (10)$$

当轧制温度 $t < t_{na} - 575^{\circ}$ 时

$$K_t = \left(\frac{t_{na} - t}{1000} \right)^2; \quad (11)$$

式中 t_{na} —— 轧件熔点温度；

t —— 轧制温度。

$$t = t_0 - \Delta t = t_0 - \frac{t_0 - 400}{16} - \frac{z}{h_0}; \quad (12)$$

式中 z —— 轧制延续时间 = 机上时间 + 间隙时间；

t_0 —— 前一道轧制温度；

σ_b —— 常温时零件之强度极限。

二 轧 轧

薄板轧机的轧辊受其特定的工作条件限制要求硬度高、耐磨、表面光洁的硬面轧辊，肖氏硬度为 58~68 度。现在几乎都用普通白口铸铁或合金白口铸铁制造，白口深度 8~35 毫米，麻口深度为白口深度的 1~2 倍，不得大于 3 倍。轧辊灰口部分的强度比白口部分大好几倍，白口过深削弱了轧辊的强度，麻口部分也有白口层所特有的柱状晶体，能使轧辊变脆。

普通白口铸铁的机械性能是：抗拉强度 18~22 公斤/毫米²；抗压强度 140 公斤/毫米²；弹性模数在白口部分为 14000 公斤/毫米²，非白口部分为 10500 公斤/毫米²。

加铬、加镍和加铜的合金白口铸铁，对增加轧辊强度和硬度都没有显著的效果，而每吨成品的合金消耗量却很大，在经济上是不合算的。近来广泛采用加镁的合金铸铁，由于镁的作用使生铁中的片状石墨球化，增加了轧辊的强度，加镁轧辊中部的抗弯和抗拉机械性能比普通纯碳素轧辊高出一倍，弹性模数高出 40%。

轧辊溫度在450°C以下时，对轧辊的强度无大影响，当辊溫到600°C时，辊子强度将降低50%。对正常质量的普通白口鑄鐵轧辊，其允許应力在500°C时常取5~6公斤/毫米²，加鎂轧辊可承受10~15公斤/毫米²。

轧辊表面的硬度也随轧辊加热溫度的升高而减低，在400°C以下对表面硬度减小不大，在400°~500°C范围内硬度降低特别剧烈，500°C时将为原有硬度的50%。

一般轧辊的磨损速度是这样的：第一昼夜为凸形辊，第二、三昼夜为平辊，第四昼夜以后为凹形辊，需要车削或研磨。车削每次平均车去2~3毫米，研磨每次约0.5~1.0毫米。根据某工厂的資料，加工一个Φ800×1800毫米的辊子，车削一次包括装卸约12小时，研磨一次约3.25~4.5小时。

表1 轧辊损坏情况

序号	总共损坏的辊子数目	折断	裂 纹	磨 损	其 他
1	271	59.5%	16.5%	22.8%	1.5%
2	134	68.5%	21%	7.5%	3%
3	242	53%	30.5%	8.2%	8.3%

表2 轧辊白口层与灰口层膨胀系数[1]

轧辊种类 部位	温度 (°C)						
		20~100	20~200	20~300	20~400	20~500	20~600
普通白口鑄鐵	白 口 层	9.55 ×10 ⁻⁶	9.2 ×10 ⁻⁶	10.3 ×10 ⁻⁶	11.35 ×10 ⁻⁶	12.2 ×10 ⁻⁶	12.85 ×10 ⁻⁶
	灰 口 层	10.8 ×10 ⁻⁶	11.4 ×10 ⁻⁶	11.7 ×10 ⁻⁶	12.5 ×10 ⁻⁶	13.4 ×10 ⁻⁶	13.6 ×10 ⁻⁶
加鎂白口鑄鐵	白 口 层	9.4 ×10 ⁻⁶	9.25 ×10 ⁻⁶	10.3 ×10 ⁻⁶	11.4 ×10 ⁻⁶	12.3 ×10 ⁻⁶	13 ×10 ⁻⁶
	灰 口 层	10 ×10 ⁻⁶	10.8 ×10 ⁻⁶	11.8 ×10 ⁻⁶	12.2 ×10 ⁻⁶	12.8 ×10 ⁻⁶	13.4 ×10 ⁻⁶

軋輶可能是因折斷、裂紋、磨損、麻點和掉皮等原因而损坏，但主要是折斷和裂紋（表 1）。折斷和裂紋的原因除了軋輶上的壓力过大以外，还由于白口層與灰口層膨脹系數不一样和軋輶斷面中溫度差異在輶身中產生熱應力，使軋輶由裂紋而致折斷。軋輶中白口層及灰口層的膨脹系數見表 2。

由下面的数据可以看出溫差應力的影響。軋輶輶身表面、兩端與中間的溫度差約 $80^{\circ} \sim 100^{\circ}\text{C}$ ，最大達 150°C 左右，輶身中間斷面表面與心部溫度差約 $35^{\circ} \sim 40^{\circ}\text{C}$ ，最大達 100°C ，輶身端部斷面表面與心部溫度差約 $15^{\circ} \sim 30^{\circ}\text{C}$ 。^[8]

設軋輶表面溫度 $t_{\text{表}} = 400^{\circ}\text{C}$ ，膨脹系數 $\alpha_{\text{白}} = 11.35 \times 10^{-6}$ ，心部溫度 $t_{\text{心}} = 300^{\circ}\text{C}$ ，膨脹系數 $\alpha_{\text{灰}} = 11.7 \times 10^{-6}$ ，則溫差應力近似為：

$$\sigma = (\varepsilon_{\text{表}} - \varepsilon_{\text{心}}) E,$$

$$\varepsilon_{\text{表}} = \alpha_{\text{白}} t_{\text{表}} = 11.35 \times 10^{-6} \times 400 = 4540 \times 10^{-6},$$

$$\varepsilon_{\text{心}} = \alpha_{\text{灰}} t_{\text{心}} = 11.7 \times 10^{-6} \times 300 = 3510 \times 10^{-6},$$

$$\sigma = (4540 - 3510) \times 10^{-6} \times 1400000 = 1442 \text{ 公斤/厘米}^2.$$

除了壓力和熱應力引起軋輶折斷外，鑄造上過大的殘余應力，也是軋輶损坏的主要因素之一。为了增加軋輶的强度和減少断輶，軋輶在鑄造后要經過 3~6 个月的时效，或采用人工时效。人工时效的制度可以是：

1. 以每小時 $20^{\circ} \sim 30^{\circ}\text{C}$ 的加熱速度加熱至 $450^{\circ} \sim 500^{\circ}\text{C}$ 。
2. 在 $450^{\circ} \sim 500^{\circ}\text{C}$ 保溫 8~10 小時。
3. 以每小時 $20^{\circ} \sim 30^{\circ}\text{C}$ 的冷卻速度冷卻至 $150^{\circ} \sim 200^{\circ}\text{C}$ ，然后在空气中冷卻。

軋輶鑄造时是由外向內凝固，徑向應力的方向是由表面至內部（鑄造沒有軸向應力），而軋制和熱應力產生的徑向應力方

向是由内部至表面，它们应当相互平衡。当轧制和热应力过高大于铸造的残余应力时，轧辊表面产生纵向裂纹，这种裂纹使轧辊不利于工作，还不致于完全折断。

轧制和热应力产生的轴向应力使轧辊产生横向裂纹，是断辊的主要原因。

根据断辊的情况可以大致确定断辊的原因：

1. 轧颈折断

a. 新安装的轧辊，轴瓦加工粗糙，表面不光，使用时轧颈过热。

b. 轧颈过热扭断。

2. 轧颈斜裂，撕去辊身一块

a. 轧辊安装不正，机架工作时摆动。

b. 在大压下量下喂钢不正。

3. 轧颈圆角处折断

a. 圆角半径过小。

b. 轧辊圆角和轴瓦圆角相比过小，润滑不良，过热。

4. 轧身或轧颈斜裂：冲击负荷过大，产生波浪形应力。

5. 折辊折断断口整齐。

a. 轧辊过热或冷却过快（断口呈淡蓝色且垂直于轧辊中心线）。

b. 压下量过大。

c. 轧制采用宽一窄一宽轧制法，改变过于迅速。

6. 断面呈[双层性]●暗黑色，断口呈圆盘形疲劳折断。

研究断辊化学成分时，试样应在断辊边缘和轧辊半径之中

● 双层性——断口外表面细晶粒部分呈暗黑色是逐渐折断的，心部粗晶粒部分有光亮是最后一次折断的。

点各取一块，这样比較簡單而且准确。

钢板轧机的轧輶直徑要根据所轧钢板的宽度和轧輶产生最小撓度的因素来决定。一般根据經驗公式选定，然后根据强度和剛度的計算来加以校核。薄板轧輶尺寸的合理比例，采利柯夫（А. И. Целиков）推荐为〔4〕(图4)：

$$L = b_{\max} + a.$$

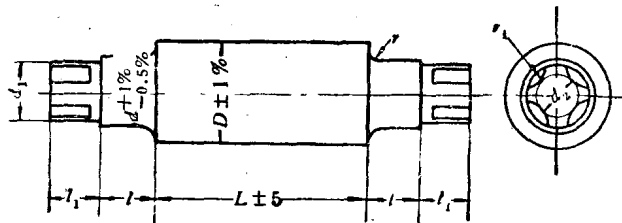


图 4

当钢板宽度 $b = 400 \sim 1200$ 时， $a = 100$ 。

$$\frac{L}{D} = 1.3 \sim 1.5 \quad \frac{d_2}{d_1} = 0.66$$

$$\frac{d}{D} = 0.75 \sim 0.8 \quad \frac{r_1}{d_1} = 0.21$$

$$\frac{l}{d} = 0.8 \sim 1.0 \quad \frac{r}{d} = 0.1 \sim 0.125$$

$$\frac{d_1}{d} = 0.85$$

$$\frac{l_1}{d} = 0.7$$

轧輶工作表面的长度总是小于輶身的长度，由于工作部分的磨损，往往使用至一定程度后轧輶边部相互紧貼，影响钢板延伸。有时边部还会因挤压力过大而剥落。为了避免剥落和便于直接在机架上磨修輶身表面調整輶型，常将轧輶边部削成 $5^\circ \sim 10^\circ$ 斜角，留下3~5毫米的輶环（图5）。

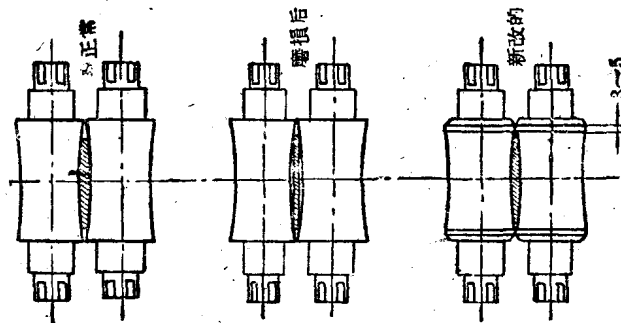


图 5

当计算轧辊时必须计算辊身、辊颈以及传递力矩的辊头。轧辊是轧机上强度最弱的零件，在一定的功率 N 下，轧辊上的垂直力 P_s 与轧制速度 v 和咬入角 α 成反比，薄板轧机的轧制速度和咬入角均小，故作用在辊上的垂直力特大：

$$P_s = \frac{N}{v \operatorname{tg} \alpha}$$

钢板轧辊的危险断面是辊身中部或辊颈上。在辊身上可以只考虑弯曲应力，因为扭应力比弯曲应力小得多，而在辊颈处须同时考虑弯曲和扭转。

辊身的弯曲应力（图 6）

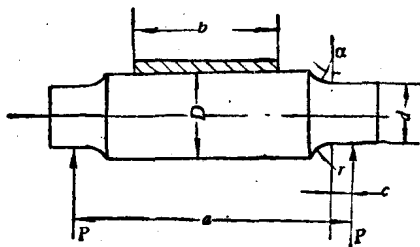


图 6

$$\sigma = \frac{P}{0.2D^3} \left(a - \frac{b}{2} \right); \quad (13)$$

式中 a —— 压下螺杆中心距，

P —— 作用在一机架上之力，

b——鋼板寬度。

輥頸處的弯曲应力通常用

$$\sigma_{uu} = \frac{P(c+r)}{0.1d^3}.$$

这个計算弯曲应力的公式沒有考慮輥頸圓角半徑對弯曲应力的影响，实际上圓角半徑愈大弯曲应力愈小。如果取 $r = 0.1 \sim 0.125 d$, $e = 0.5 d - r$, 則不考慮圓角半徑時的弯曲应力

$$\sigma_{uu} = 5 \frac{P}{d^2},$$

而考慮圓角影响比較完整的計算公式為：

$$\sigma_{uu} = \frac{P[0.5d - 0.1d(1 - \sin \alpha)]}{0.1(d + 0.2d(1 - \cos \alpha))^3}.$$

當 α 从 $0^\circ \sim 90^\circ$ 時

$$\sigma_{uu} = 2.95 \sim 4.2 \frac{P}{d^2},$$

比不考慮圓角半徑計算的結果要小 $25 \sim 40\%$ 。因此如果是輥頸的折斷大部分应在 $\alpha = 25^\circ \sim 35^\circ$ 之間（实际也是如此）。一方面 是該處應力較大，再者該處摩擦和冷卻所產生的熱應力也較大。該處的弯曲应力

$$\sigma_{uu-\max} = 4.2 \frac{P}{d^2}. \quad (14)$$

輥頸上的扭轉应力

$$\tau_{uu} = \frac{M}{0.2d^3}. \quad (15)$$

輥頸上的合成应力，鑄鐵對應力集中的敏感性差，可不考慮：

$$\sigma_{puu} = \frac{\sigma_{uu}}{2} + \frac{1}{t^2} \sqrt{\sigma_{uu}^2 + 4\tau_{uu}^2}. \quad (16)$$

軸頭處梅花頭的扭轉应力

$$\tau = \frac{M}{0.074t^3}. \quad (17)$$